

# ساخت ترکیب BRIDA، تهیه و کنترل کیفی کیت

## جهت بررسی فعالیت کبدی

دکتر علی اصغر یراقچی، دکتر رضا نجفی

بخش رادیوایزروتوب، مرکز تحقیقات هسته‌ای، سازمان انرژی اتمی ایران

### چکیده

در این مقاله مراحته شیمیایی، مکانیزم رفتاری مشتقات IDA بعنوان عوامل سنتی گرافی کبدی - صفراءوی و نیز سیر تکاملی عوامل مختلف تصویربرداری از فعالیت کبدی بطور اجمال مورد بحث قرار گیرد. همچنین مراحل ساخت مبروفین و تهیه و تولید آن بعنوان یک کیت مؤثر کبدی - صفراءوی که در بخش رادیوایزروتوب مرکز تحقیقات هسته‌ای ساخته شده است ارائه می‌شود. کمپلکس TC-99m-BRIDA با ویژگی متفاوت از سایر مشتقات IDA قادر است بعنوان یک عامل مؤثر، حتی در بیماران پرفاپی، تصاویر روشن و واضحی از فعالیت کبدی به دست دهد. این کیت بصورت استریل و آپرتوژن در ویالهای تزریقی به فرم لیوفیلیزه عرضه می‌گردد.

فضایی بنام دیس (Diss) می‌شوند که مایعات خونی در آن قرار دارند. در این نقطه این مواد با سطح سلولهای کبدی تماس پیدامی کنند. جذب این مواد توسط سلولهای کبدی انتخابی است و به پروتئین‌های غشای سلول بستگی دارد. دسته‌ای از ترکیبات رنگی مثل سولفوبروموفتاچین (BSP)، رزنگال (RB)، ایسندوسیانین سبز (ICG، Indocyanine green) نمک اسید صفراءوی، بیلیروبنین، پورفیرین‌ها (Prophyrins)، اسیدهای چرب آزاد، آمین‌های کواترنری با پار مثبت و قند استروئید خنثی کاتژوگه بعد از عبور از غشای سلول کبد ممکن است با پروتئین سیتوپلاسم سلول فعل و انفعال انجام دهند یا اینکه بواسیله اورگانل‌های سلول (Organelles) متابولیزه شوند (Fritz berg 1982) (۲). خروج مواد از سلول کبدی از طریق غشای بین سلولی بنام کانالیکول صفراءوی (Bile canaliculi) صورت می‌گیرد. کانالیکول‌های صفراءوی تشکیل فضای مجرایی را می‌دهند که اولین قسمت مجرایی صفراءوی است و منتهی به مجرایی اصلی کبدی می‌شوند، مجرای کبدی با مجرای سیستم

### مقدمه

از چند دهه گذشته تاکنون، پیشرفت‌های بسیاری برای بهبود تشخیص کوله سیست (Cholecystitis) با بهره‌گیری از روش سنتی گرافی به دست آمده است. این امر مدعیون تحقیقاتی می‌باشد که در زمینه رادیوداروها با نشاندار ساختن شلاتهای (Chelates) مختلف با تکنیزوم 99m صورت گرفته است. در اینجا برای روشن شدن بیشتر مکانیزم رفتاری سلولهای کبدی در مقابل شلاتهای مختلف مورد استفاده در روش سنتی گرافی و همچنین کیتیک متفاوت آنها مختصراً در باب بیوشیمی سلولهای کبدی و ساختار مولکولی عوامل سنتی گرافی و ویژگی‌های آنها بحث می‌شود. الف - مورفولوژی و بیوشیمی سلولهای کبدی - شونک (Shewenk 1980) (۱) به طور شماتیک انتقال ترکیبات صفرا در سیستم صفراءوی چنین تشریح می‌کند (شکل ۱): موادی که از طریق خون تزریق می‌شوند از ورید باب به سینوزوئیدهای (sinusoids) کبدی می‌رسند و از منافذ آندوتیال (Endothelial) دیوار سینوزوئیدها عبور کرده وارد

بررسی فعالیت کبدی از اوایل قرن بیستم (۱۹۰۹) با تزریق مواد رنگی مثل ترکیبات فنل-فنالین‌های هالوژنه [سو-لفورومونتالین، BSP، کلروفلوروسین (رزینگال RB)] یعنوان ماده حاجب در عکس‌برداری با اشعه X آغاز گردید. تا حدود نیم قرن تحول چندانی در این روش صورت نگرفت، تا اینکه در سال ۱۹۵۵ تاپلین (Taplin) (۴) و همکارانش موفق شدند رزینگال (RB) را با <sup>۱۳۱</sup>I اشاندار ساخته و با استفاده از اشعه گاما مسیر انتشار آن از کبد را به کمک کریستال یدورسیدیم (Sodium Iodide) مشخص کنند. با توسعه روش سنتی گرافی در اوایل ۱۹۶۰ گام مؤثری جهت مطالعه فعالیت کبدی برداشته شد. متعاقب آن مواد رنگین دیگری مانند BSP، بیلروین با <sup>۱۳۱</sup>I اشاندار گردیدند. اما تا پیدایش تکنیزیم-<sup>99m</sup>Tc هیچ یک از آنها نتوانستند جایگاه بالینی مناسبی را بدست آورند.

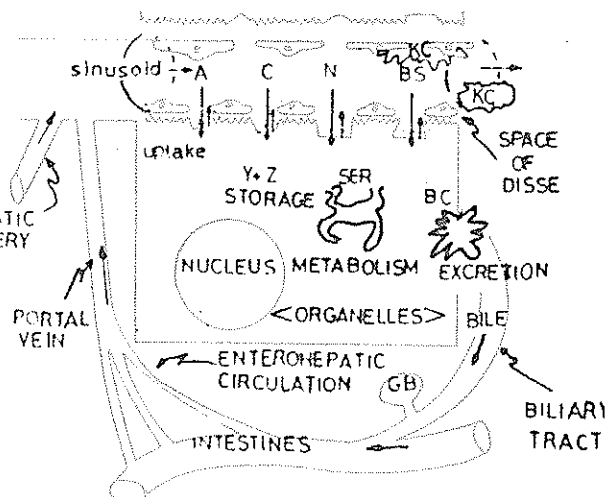
ب - ساختمان ملکولی لازم برای عوامل سنتی گرافی کبدی - صفاروی: در سال ۱۹۷۶ فرینو (Frinou) (۵) مشخصات لازم برای ساختمان ملکولی ترکیبات شلاتی نشاندارشده با تکنیزیم-<sup>99m</sup>Tc را که بتوانند از طریق صفرا دفع شوند، توضیح داد. خصوصیات مذکور بقرار زیر می‌باشند:

- ۱- داشتن وزن ملکولی بین ۳۰۰ تا ۱۰۰۰
- ۲- داشتن ملکولی کمپلکس مورد استفاده کمتر از ۳۰۰ باشد
- ۳- از طریق ادرار صورت می‌گیرد. برای مثال TC-<sup>99m</sup>-PG (تکنیزیم، پیریدوکسیلیدین آمینواسید) یا وزن ملکولی ۲۸۲
- ۴- عدم توانند از طریق کلیه‌ها دفع می‌شود، درحالیکه دو ملکول PG می‌توانند TC-<sup>99m</sup> Kمپلکسی به وزن ملکولی ۴۱۱ ایجاد کنند که مسیر دفع آن از کلیه به صفرا تغییر می‌کند.

۲- داشتن گروه قطبی (ترجیحاً قابل یونیزه شدن) مثل کربوکسیلیک یا سولفونیک اسید (گروه اسیدی) نیاز از عوامل مؤثر جهت بالابردن مقدار دفع از طریق صفرا می‌باشد. فریزبرگ (Frizberg 1982) (۶) نشان داد که عوامل قطبی باعث حلایت کمپلکس در آب، ایجاد پیوند با پروتئین ناقل و همچنین جذب مجدد از روده می‌گردد. اصولاً این ترکیبات مانند مواد اندوفن (Endogenous) که از کبد دفع می‌گردند از نوع آنیون‌های آلتی هستند.

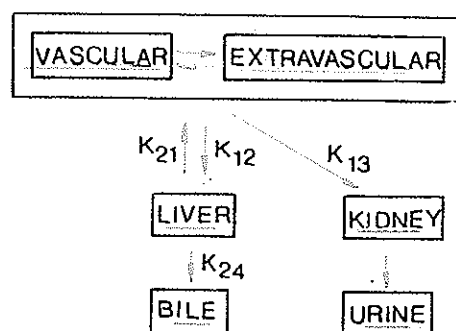
۳- دارابودن دو حلقه یا بیشتر در ساختمان شیمیائی لیگاند - تکنیزیم-<sup>99m</sup>-Ligand (TC-<sup>99m</sup>-Ligand) باعث می‌شود تا

یکی شده و مجرای صفاروی مشترک را تشکیل می‌دهند.



شکل (۱): نمایش شماتیک یک سلول کبدی، مواد به یکی از چهار صورت آنیونی (A)، کاتیونی (C)، خنثی (N)، نمک صفرا از غشاء سلول کبدی عبورکرده با پروتئین داخل سلول ترکیب شده ذخیره می‌شود (مثل پروتئین‌های Y+Z).  
SER = Smooth endoplasmic  
BC = Biliary canalculus  
GB = Gall bladder  
KC = Kupffer cells

همانطور که در شکل دیده می‌شود جذب مواد توسط سلولهای کبدی بصورت انتخابی و از طریق غشای سلول صورت می‌گیرد، این مواد می‌توانند به فرم آنیونی، کاتیونی، غیریونی و نمک صفاروی باشند. لوبرگ (Loberg 1981) (۳). در شرایط *invivo* با رادیوداروی TC-<sup>99m</sup>-IDA یک مدل کیتیک دارویی را توضیح داد (شکل ۲).



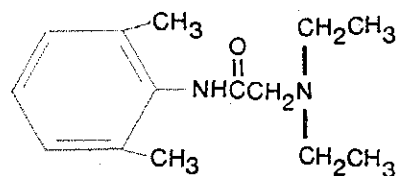
شکل (۲): مدل سیتیک دارویی توزیع *invivo* برای عوامل کبدی - صفاروی

توسعه رادیوداروها در سال ۱۹۷۵ هاروی (Harvy) (V) و سایرین کمپلکس تکنژیم ۲ و ۶ دی متیل استانیلید و ایمینو دی استیک اسید (TC-99m-HIDA) را بعنوان یک عامل سنتی گرافی سیستم صفوایی معرفی کردند. HIDA به راحتی در شرایط دمای اطاق با تکنژیم احیا شده، تشکیل کمپلکس می‌دهد. دی متیل استانیلید و ایمینو دی استیک اسید در حقیقت آنالوگ لیدوکائین می‌باشد که در آن بجای عوامل متیل، کربوکسیلیک قرار گرفته‌اند (شکل ۴). سپس با

دو قسمت هیدروفیلیک و لیپوفیلیک ملکول از هم فاصله بیشتری بگیرند. قسمت لیپوفیل ملکول در پیوند با پروتئین نقص مؤثری داشته و ایجاد یک ملکول بزرگتر می‌کند، و امکان عبور از گلومرول کلیه‌ها را شدیداً کاهش می‌دهد.

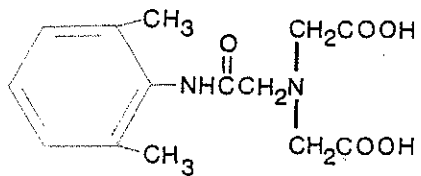
۴- تشکیل پیوند با سرم آلبومین شرط دیگر انتقال آنیون‌های آلی به سلولهای کبدی می‌باشد، آلبومین نقش یک ناقل را داشته و پس از ورود به سلول کبدی آنیون آلی را رها کرده و خود آزاد می‌شود.

ج - مشتقات استانیلید و ایمینو دی استیک اسید: با



LIDOCAINE

N-(2,6-DIMETHYLACETANILIDE) IMINODIACETIC ACID



شکل (۴): فرمول شیمیایی لیدوکائین و HIDA

صفراوی تشکیل می‌دهند (۹) (شکل ۵). از مشهورترین مشتقات IDA که بطرور کلینیکی مورد آزمایش قرار گرفته است می‌توان شش نمونه را ذکر کرد: HIDA (هایدا)، EHIDA (اتیل هایدا)، DISIDA (دی ایزوپروپیل آیدا)، PIPIDA (پارا ایزوپروپیل آیدا)، BIDA (پارابوتیل آیدا)، BRIDA (تری متیل برومومایدا) (شکل ۶).

جهت بررسی و مقایسه خواص آنها آزمایشها و مطالعات متعددی بر روی حیوان و انسان انجام گرفته است که نتایج بدست آمده بشرح زیر خلاصه می‌شود.

۱- ترکیب EHIDA بخاطر زمان انتقال سریع از کبد و دفع کمتر از سیستم ادراری نسبت به HIDA و PIPIDA دارای ویژگی بالاتری می‌باشد (۱۰، ۱۱، ۱۲).

۲- دارای زمان انتقال طولانی تر از کبد بوده و اجراه می‌دهد تا تصویر واضحی از مجاری صفرا داشت (۱۳).

۳- دارای کیتیکی مشابه با EHIDA اما مقاومت نسبت به سطح بیلریوبین خون می‌باشد، یعنی رقیب

جاگزینی الکل یا هالوژن‌های مختلف بر روی حلقه فنیل در وضعیت‌های اورتو، پارا و متا از IDA مشتقات متعددی ساخته شدند که دارای ویژگی‌هایی که در سنتز مشتقات مختلف IDA توسط پژوهشگران پیگیری می‌شدند عبارتند از:

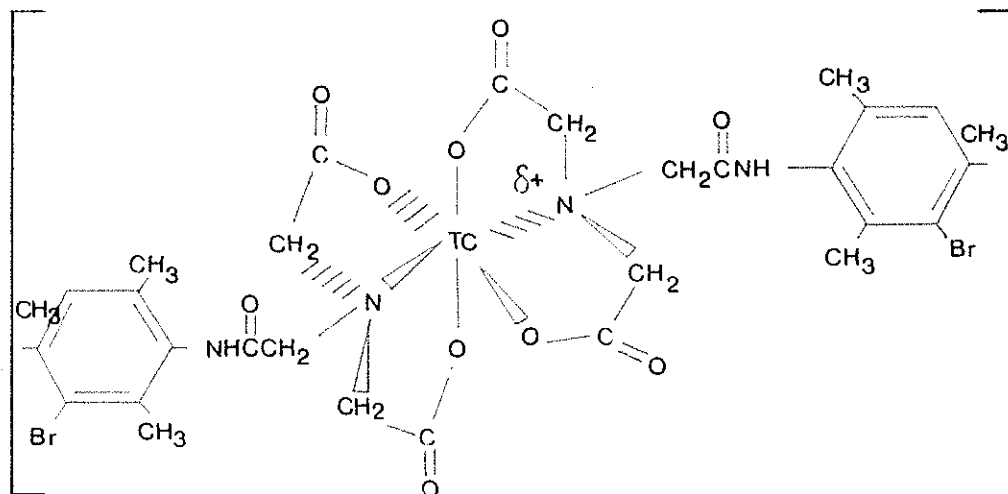
۱- سرعت خروج از خون  
۲- افزایش جذب کبدی ( $K_{21}$ )

۳- عبور به مجاری صفراوی در فاصله زمانی مناسب ( $K_{24}$ )

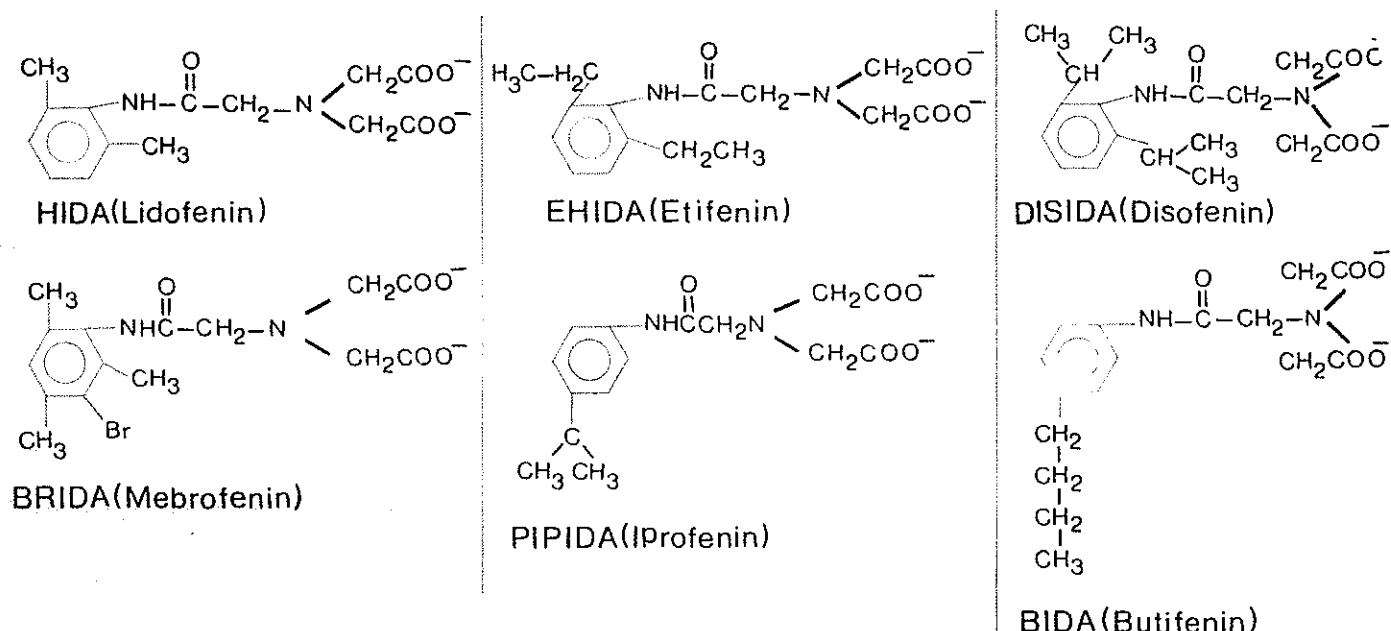
۴- به حداقل رساندن دفع از طریق ادرار ( $K_{13}$ )

۵- مقاومت نسبت به بیلریوبین  
عوامل فوق در شکل ۲ که مدل کیتیک توزیع یک رادیوداروی کبدی - صفراوی در بدن می‌باشد نشان داده شده است.

همچنین تجزیه‌های رادیوشیمیایی ساختمان کمپلکس TC-99m-IDA نشان می‌دهد که دو مول IDA با یک مول TC-99m کمپلکسی با بار منفی (۱) مشابه اسیدهای



شکل (۵): شمای ساختار ملکولی کمپلکس  $^{99m}$  TC-BRIDA



شکل (۶): عnumone مشقق IDA که بطور کلینیکی مورد آزمایش قرار گرفته‌اند.

بطور قابل توجهی در مقایسه با پلیروربین است (۱۴).  
\* BIDA دارای ویژگی بالا، سرعت دفع سریع برآورده و بهتر از DISIDA عمل می‌کند (۱۵) (جدول ۱).

جدول (۱)- سینتیک و ویژگی مشتقات TDA که بطور کلینیکی استفاده شده است.

Compound	T <sub>max</sub>	T <sub>50</sub>	Specificity
O-Dimethyl	4.7	9.6	63.4
O-Diethyl	5.3	9.1	83.8
O-Diisopropyl	5.9	26.7	89.6
P-n-Stylyl	3	18	86.0
2, 4, 6, Trimethyl bromo	4.1	5.5	94.6

به مخلوط اضافه و رسوب حاصل را فیلتر و سپس خشک می‌کنند.

ج- تهیه ۲ و ۴ و ۶ تری‌متیل ۳ بروماستانیلید و ایمینو دی‌استیک اسید (میروفنین): ۰/۲۲ مول از ماده B را در مقداری مناسب اتانول ۹۵٪ حل کرده و سپس ۱۰۰ میلی‌لیتر محلول ایمینو دی‌استیک اسید (۸/۰ مولان) با pH کاملاً قلیایی را به محلول واکنش اضافه و حرارت می‌دهند. مخلوط را با کمک همزن مغناطیسی خوب همzedه تا کاملاً حل شده سپس برای مدت ۵ ساعت آن را رفلاکس کردیم در حالیکه pH محیط را بکمک محلول سود ۳/۷ داشتماً تنظیم و در حوالی ۱۰ نگه‌مندی دارند برای مدت ۵ ساعت آن را رفلاکس می‌کنند. پس از اینکه واکنش خاتمه یافته حال را بکمک سیستم تبخیر در خلاء خارج و از محلول اتانول را بکمک همزن مغناطیسی خوب همzedه تا کاملاً درصد بدست آمد.

### فرمولاسیون

فرمولی که در زیر لرائه می‌شود جهت تهیه ۱۲ کیت آزمایشی می‌باشد و برای تولید انبوه آن به نسبت تعداد کیت موردنیاز ضرایب مقادیر افزایش پیدامی‌کنند. تولید انبوه در شرایطی کاملاً استریل و عاری از مواد پیرورزن بوده و کیت‌ها بصورت لیوفیلیزه تهیه می‌شوند.

۳۰۰ میلی‌گرم میروفنین را در حجم ۶ میلی‌لیتر آب مقطر حل و سپس به کمک محلول سود ۲/۷ مقدار pH آن برای حدود ۷ نظیم شد تا پودر میروفنین کاملاً حل گردد.

اهمیت ساخت کیت میروفنین (BRIDA) به لحاظ توجه به ویژگی‌های آن جهت سنتی گرافی کبدی صفوایی بخصوص در بیماران یرقانی انگیزه‌ای گردید تا سنجش رادیوایزوتوپ مرکز تحقیقات هسته‌ای سازمان اتوزی اتمی ایران سنتز و فرمولاسیون آن را بعنوان یک کیت رادیودارویی مهم مورد توجه قرارداده.

### روش و مواد اولیه

در تهیه کیت میروفنین و بررسی کیفیت آن می‌توان سه مرحله سنتز، فرمولاسیون و کنترل کیفی را درنظر گرفت که ذیلاً بطور خلاصه شرح داده می‌شود:

مرحله سنتز- با توجه به فرمول شکل ۶ سنتز این ماده در سه مرحله به شرح زیر صورت پذیرفت:

A- تهیه ۲ و ۴ و ۶ تری‌متیل کلرواستانیلید: ۰/۲۵ مول تری‌متیل آنیلین را در مقدار مناسبی اسید استیک حل کرده و در دمای زیر ۵ درجه سانتیگراد، ۰/۰ مول کلرواستیل کلرايد را به آن اضافه می‌کنند و به کمک همزن مغناطیسی مرتبت آن را هم می‌زنند. در شرایط مناسب ۰/۷۶ مول استات سدیم حل شده در ۲۵۰ میلی‌لیتر آب به آن اضافه و خوب مخلوط می‌کنند پس از یک ساعت آن را با کاغذ صافی صاف و با آب مقطر شستشوی می‌دهند، ماده حاصل را خشک و برای سنتز مرحله دوم از آن استفاده می‌گردد.

را در مقدار ۰/۱۸ مول از ماده کدن ماده A (۰/۲ و ۰/۶ تری‌متیل کلرواستانیلید): ۰/۱۸ مول از ماده محلول در A کافی اسید استیک خالص حل و ۰/۲۴ مول برم اسید را (Br<sub>2</sub>) در مدت ۲ ساعت قطره‌قطره به ظرف واکنش اضافه می‌کنند. مخلوط برای مدت ۱۶ ساعت در دمای محیط همzedه می‌شود (با همزن مغناطیسی). ۵۰۰ میلی‌لیتر محلول ۰/۱۴ مولار سدیم متابی سولفات را همراه همزن مداوم

۲- حلال متیل اتیل کتون و کاغذ واتمن شماره ۱ که در آن کمپلکس  $\text{TC-99m-CO}_2$  در مبدأ باقی‌مانده و  $\text{TC-99m-CO}_4$  به بالای کاغذ کشیده می‌گردد.

با استفاده از روش فوق و اندازه‌گیری قسمت به قسمت کاغذ توسط دنکتور یدید سدیم درصد خلوص و ناخالصی رادیوشیمیایی محاسبه گردید. بعد از بررسی رادیوشیمیایی جهت حصول اطمینان کافی از خلوص کمپلکس بوجود آمده آزمایش‌های بیولوژیک صورت گرفت. در آزمایش‌های مذکور از موش‌های کوچک سفید آزمایشگاهی نژاد Musculus و موش‌های سفید بزرگ (Rat) از نژاد Wistar و Spragu استفاده شد.

## نتایج

- نتایج حاصل از کنترل شیمیایی مبروفین سنتز شده عبارتست از نقطه ذوب که  $195^{\circ}$  درجه سانتیگراد به دست آمد و طیف NMR آن در نواحی  $2/1$  و  $2/2$  و  $2/3$  برای  $9/4$  هیدروژن مربوطه به سه عامل متیل ( $\text{Ar-(CH}_3)_3$ ) و در  $3/6$  برای دو هیدروژن ( $\text{N-CH}_2\text{-CO-}$ ) و در  $3/6$  برای چهار هیدروژن  $[2-\text{N}(\text{CH}_2)_2]$  و نیز  $1/7$  برای یک هیدروژن حلقة فنیل ( $\text{Ar-H}$ ) پیک نشان داد. همچنین در بررسی طیف FTIR تراوحی جذبی  $1545\text{cm}^{-1}$  (کربوکسی)،  $1675\text{cm}^{-1}$  (کربونیل)،  $3020\text{cm}^{-1}$  (حلقه فنیل)،  $4320\text{cm}^{-1}$  (-NH-) به طور مشهود مشخص گردید و برای بررسی سمیت آن با تزریق مقادیر مختلفی از مبروفین به موش‌های آزمایشگاهی مقدار LD<sub>50</sub> آن در حدود  $260-230$  میلی‌گرم بعازای هر کیلوگرم از وزن بدن بدست آمد.
- بررسی رادیوشیمیایی کمپلکس  $\text{TC-99m-BRIDA}$  با افزودن پرتکننات بروی کیت و با تغییر عوامل مؤثر در افزایش کمپلکس تاحد ۹۸ درصد نتایج زیر حاصل گردید:
  - تأثیر غلظت کلرور قلع دو ظرفیتی - مقدار کلرور قلع در فرمولاسیون از میزان  $1/0$  تا  $1/6$  میلی‌گرم تغییر داده شد و تأثیر آن در ایجاد کمپلکس  $\text{TC-99m-BRIDA}$  مطابق با جدول ۲ اندازه‌گیری گردید.

۵/۰ میلی‌لیتر محلول کلرور قلع ( $5\text{mg/ml}$ ) به آن اضافه کرده و سپس pH آن برای حدود  $6.5/5$  تنظیم و حجم آن به  $12$  میلی‌لیتر رسانده شد. محلول را از فیلتر میلی‌پور عبور می‌دهند و بین  $12$  ویال بطور مساوی تقسیم می‌کنند. ویال‌ها را در فریزر قرارداده تا کاملاً منجمد شوند. سپس کنترل رادیوشیمیایی و آزمایش‌های دیگر بروزی آنها انجام گرفت.

برای بهترساختن فرمول فوق بررسی‌های لازم در عوامل گوناگون مثل غلظت کلرور قلع، میزان pH اکسیوتی، زمان، دما و آنتی‌اکسیدان به عمل آمد، که نتایج آن از نظر آزمایش‌های رادیوشیمیایی و توزیع بیولوژیک در مبحث مربوطه بیان خواهد شد.

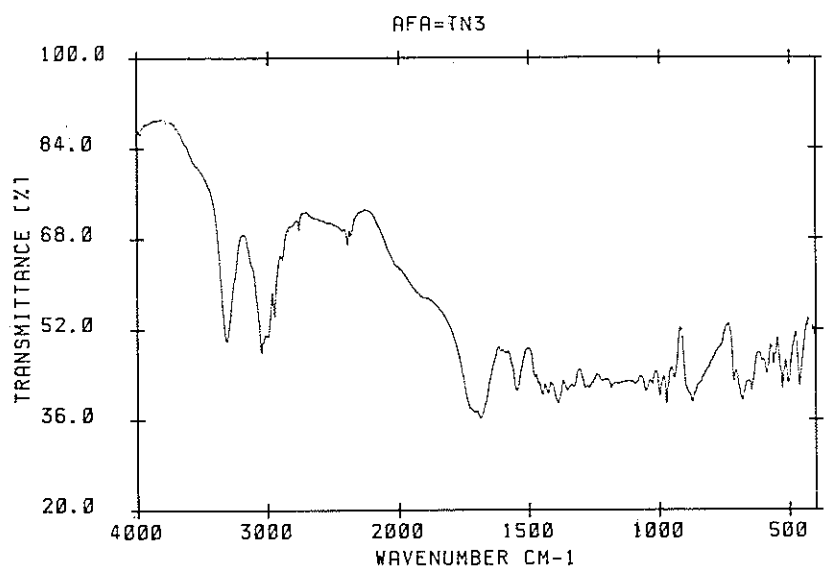
## کنترل کیفی

برای بررسی ساختمان شیمیایی مبروفین و اطمینان از خلوط آن سه آزمایش زیر صورت گرفت:

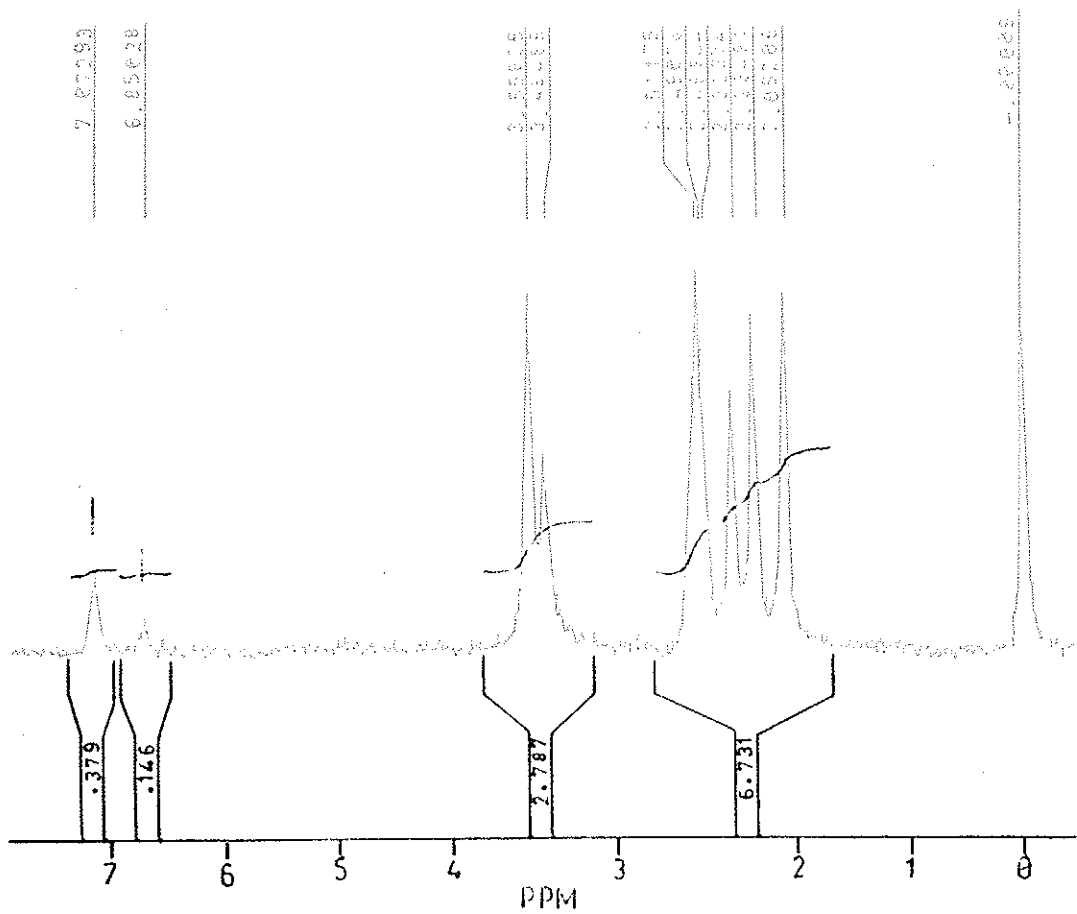
- اندازه‌گیری نقطه ذوب: در این آزمایش از دستگاه نقطه ذوب متلر (Metler) مدل FP62 استفاده که با روش اپتیکوالکترونیک کار می‌کند.
- تهیه طیف مادون قرمز (IR)- طیف‌های مورد نظر SF566 به دست آمد (شکل ۷).
- تهیه طیف NMR: برای تهیه طیف NMR از دستگاه ۱۰۰ مگاهرتز دانشکده داروسازی دانشگاه تهران استفاده شد (شکل ۸).

سپس برای تعیین خلوص رادیوشیمیایی و میزان بازدهی کمپلکس به وجود آمده بعد از نشاندار ساختن کیت با تکنژیم ( $\text{TC-99m-CO}_4$ ) از روش کروماتوگرافی استفاده گشت، که در این آزمایشها از دو نوع حلال و دو نوع کاغذ مخصوص کروماتوگرافی به شرح زیر استفاده گردید:

- حلال متانول ۷۰٪ و (ITLC-SA) که در آن ناخالصی  $\text{TC-99m-CO}_2$  (تکنژیم احیاشده) در مبدأ باقی‌مانده و کمپلکس  $\text{TC-99m-CO}_4$  و  $\text{TC-99m-BRIDA}$  به بالا رانده می‌شوند.



شکل (v) : طیف FTIR مبروفین سنتز شده



شکل (a) : طیف NMR مبروفین سنتز شده

جدول (۲)- تأثیر غلظت قلع در میزان کمپلکس

درصد کمپلکس	کلرور قلع	۱/۶	۱/۴	۱/۲	۱	۰/۸	۰/۴	۰/۲	۰/۱
۹۷/۵±۱	۹۸±۱/۸۷	۹۸/۴±۰/۲۷	۹۷/۳±۰/۲	۹۵/۲±۰/۸	۹۰/۹±۱/۳	۸۸±۰/۳۹	۸۳±۱/۲		

کمی از آن استفاده می‌شود ضروریست برای بالابردن زمان انقضای و پایداری کیت از یک آنتی اکسیدان سود جست. محققین این گروه از اسید آسکوربیک بعنوان آنتی اکسیدان استفاده کردند. تأثیر غلظت‌های مختلف آنتی اکسیدان در میزان کمپلکس و پایداری آن در جدول ۳ بیان شده است.

ب - تأثیر pH - در این آزمایش حد pH بدست آمده برای فرمولاسیون ۵/۵-۶/۵ بود. حساسیت pH فرمولاسیون بقدرتی است که اگر pH کمتر یا بیشتر از حد بدست آمده باشد رسوب ایجاد می‌گردد.

ج - تأثیر آنتی اکسیدان و پایداری کمپلکس - کلرور قلع نقش اصلی را در ایجاد کمپلکس بازی می‌کند و چون مقادیر

جدول (۳)- درصد خلوص کمپلکس در حضور آنتی اکسیدان با اکتیویته ۲۰ میلی‌کوری

ساعت زمان	غلظت آسکوربیک اسید	۰	۰/۰۱ میکرومول	۰/۱ میکرومول	۱ میکرومول
۰	۸۰±۱	۸۴±۰/۶	۸۱±۱/۵	۶۵±۲/۸	
۰/۵	۹۸±۰/۴	۹۴/۲±۰/۹	۹۳±۰/۸	۷۵/۵±۱/۹	
۱	۹۸±۰/۶	۹۵/۶±۱/۱	۹۶±۰/۵	۷۹±۰/۴	
۲	۹۷/۲±۰/۷	۹۶/۴±۰/۵	۹۶±۰/۹	۸۷±۱/۲	
۳	۹۷±۰/۲	۹۶/۷±۰/۹	۹۶/۹±۰/۱۴	۸۹/۳±۰/۷	
۴	۹۷±۰/۷	۹۶/۶±۰/۱	۹۶±۰/۵	۹۲±۱/۲	

همچنان ثابت ماند.

۳- بررسی توزیع بیولوژیک TC-99m-BRIDA - میکروکوری از کمپلکس مبروفنین در حجم ۰/۰ میلی لیتر را به دسته‌های ۵ تا ۱۵۰ میلی کوری تقریباً یکسان بوده و ۹۵-۹۸ درصد خلوط رادیوشیمیایی نشان داد. برای مقادیر بالای ۲۰۰ میلی کوری درصد کمپلکس کاسته شد و میزان ناخالصی رادیوشیمیایی افزایش یافت.

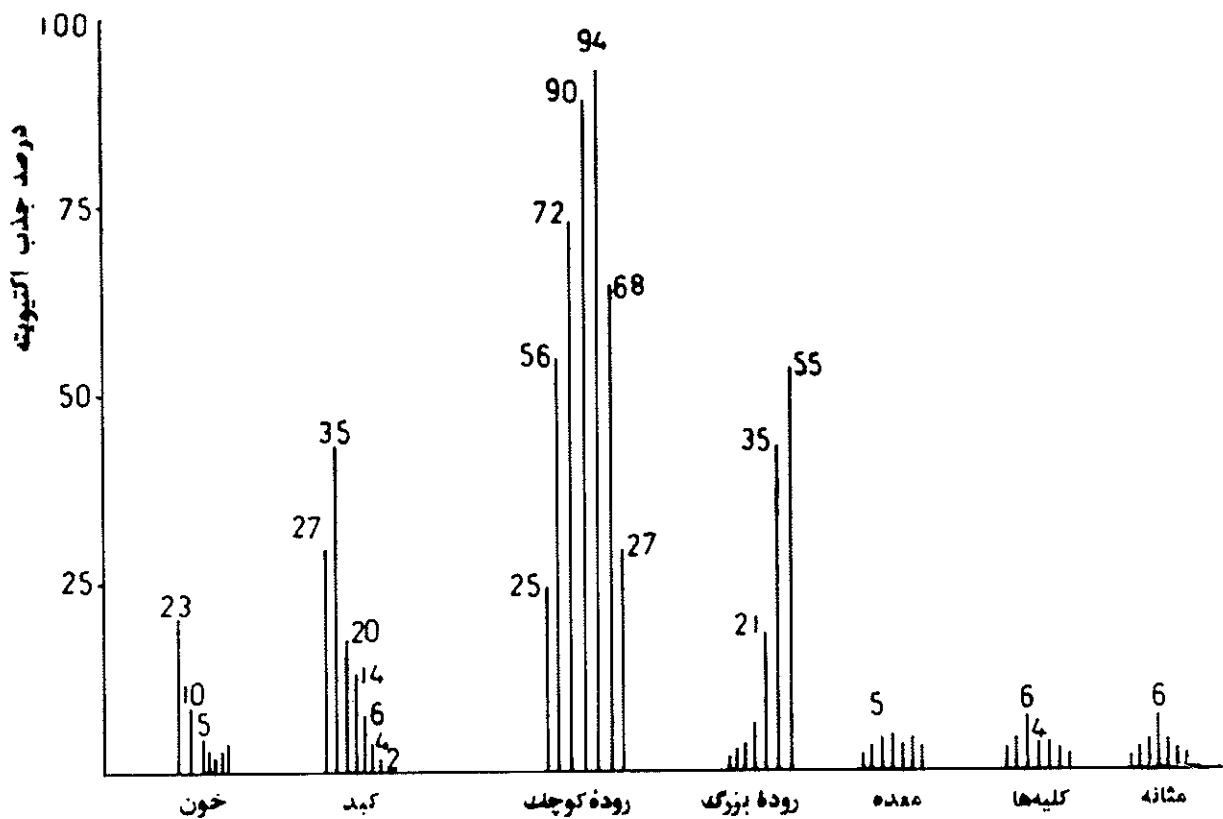
د - تأثیر اکتیویته در میزان کمپلکس - کیت مبروفنین را با غلظت‌های مختلفی از اکتیویته نشاندار کرده، نتایج برای مقادیر ۵ تا ۱۵۰ میلی کوری تقریباً یکسان بوده و ۹۵-۹۸ درصد خلوط رادیوشیمیایی نشان داد. برای مقادیر بالای ۲۰۰ میلی کوری درصد کمپلکس کاسته شد و میزان ناخالصی رادیوشیمیایی افزایش یافت.

ه - تأثیر زمان و دما - در دمای آزمایشگاه و برای زمان‌های مختلف کمپلکس مبروفنین مورد آزمایش رادیوشیمیایی قرار گرفت. ملاحظه شد که ۱۵ دقیقه بعد از افزایش ۰-۴ TC-99m-O<sub>4</sub> خلوص رادیوشیمیایی به حد اکثر مقدار خود یعنی ۹۸ درصد رسید و این مقدار تا ۶ ساعت بعد

کشته و تشریح می‌کنند (شکل ۹).

همچنین هیستوگرامی از خرگوش در فاصله ۵ دقیقه پس از تزریق کمپلکس تهیه شد که نشانگر کلیرانس آن از قلب،

کلیه‌ها و کبد می‌باشد (شکل ۱۰). عکسی نیز توسط



شکل (۹): نمودار تشریح دسته‌های ۵ تایی موش‌های آزمایشگاهی در زمانهای ۱۰، ۲۰، ۴۰، ۶۰، ۱۰۰، ۱۲۰ دقیقه بعد از تزریق  $^{99m}$ TC-BRIDA

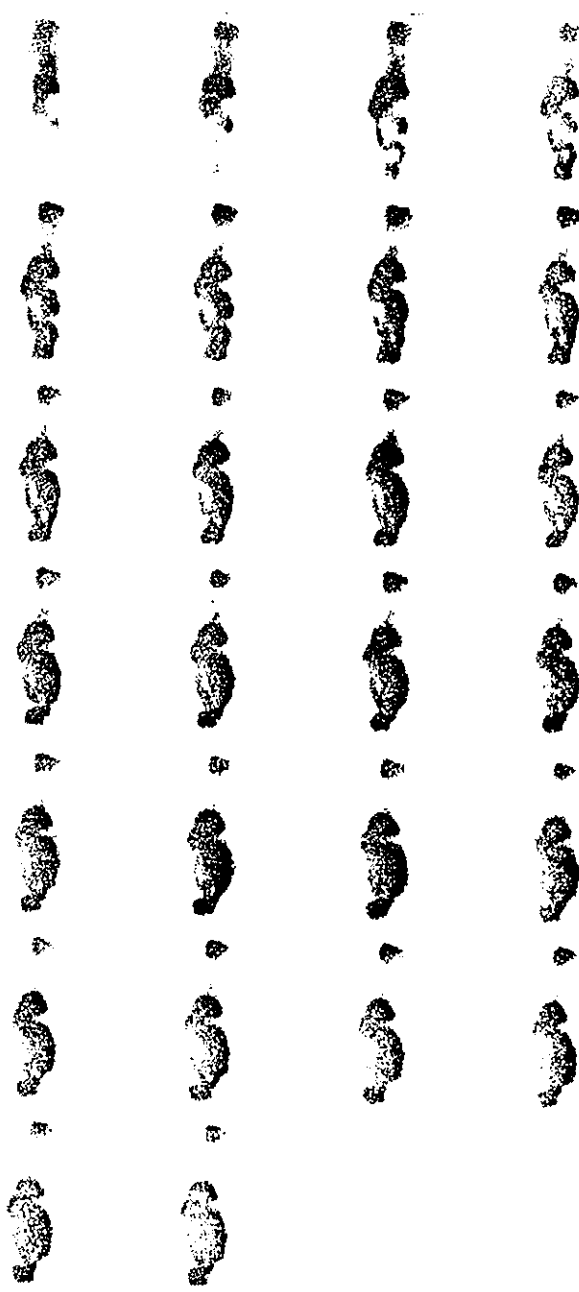
میکروفنین با جایگزینی سه ملکول متیل ( $\text{CH}_3$ ) در موقعیت‌های اورتو و پارا و یک اتم برم (Br) در موقعیت متای حلقة فنیل ساخته می‌شود (شکل ۶). کمپلکس این ملکول با لیپوفیلیسیتی بالا می‌تواند بطور نسبی در مقابل غلظت‌هایی از بیلیروبین خون مقاومت کند و در بیماران برقانی بطور مؤثر از طریق صفرا دفع شود. در حالیکه مشتقات دیگر IDA از جمله  $^{99m}\text{TC}$ -EHIDA قدرت مقابله با بیلیروبین خون را نداشته و در بیماران مذکور دفع از طریق کلیه‌ها صورت می‌گیرد (شکل ۱۲).

در گزارشات مختلف دو نوع مشتق  $^{99m}\text{TC}$ -DISIDA و  $^{99m}\text{TC}$ -BRIDA بصورت *In Vitro* بر روی سلول‌های کبد در موش‌های آزمایشگاهی مورد مطالعه قرار گرفتند. این گزارشات نشان می‌دهند که حضور ۱۰٪ وزنی بیلیروبین باعث کاهش مقدار جذب (Uptake) DISIDA تا ۷۱ درصد

گاما کامرا از خرگوش گرفته شد که نحوه توزیع اکتیویته را در کبد، روده‌ها و کلیه‌ها در فاصله ۳۰ دقیقه پس از تزریق کمپلکس  $^{99m}\text{TC}$ -BRIDA نشان می‌دهد (شکل ۱۱).

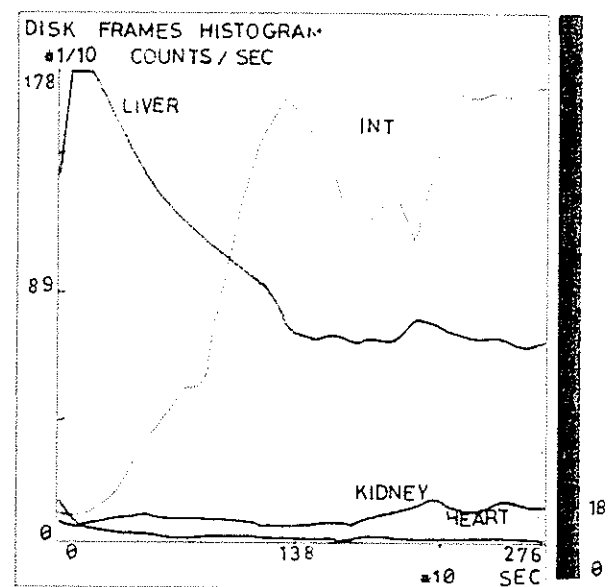
## بحث

همانطور که در مقدمه اشاره گردید با جایگزینی الکیل یا هالوژن بر روی حلقة فنیل «استانیلید و ایمینودی استیک اسید» می‌توان مشتقات مختلفی از ترکیبات IDA را ساخت. ویژگی هر کدام از این مشتقات بستگی به مقدار جذب کبدی از طریق صفرا دارد. بطور کلی با جایگزین کردن الکیل‌های سبک بر روی حلقة فنیل IDA در موقعیت اورتو می‌توان ترکیباتی بدست آورده که دفع آنها از صفرا سریع می‌باشد و نیز با جایگزینی اضافی در موقعیت‌های متا و پارا لیپوفیلیسیتی (Lipophilicity) ملکول را افزایش داد. ملکول



شکل (۱۱) : ۹۹m TC-BRIDA در کبد و روده‌های خرگوش تا ۳۰ دقیقه پس از تزریق

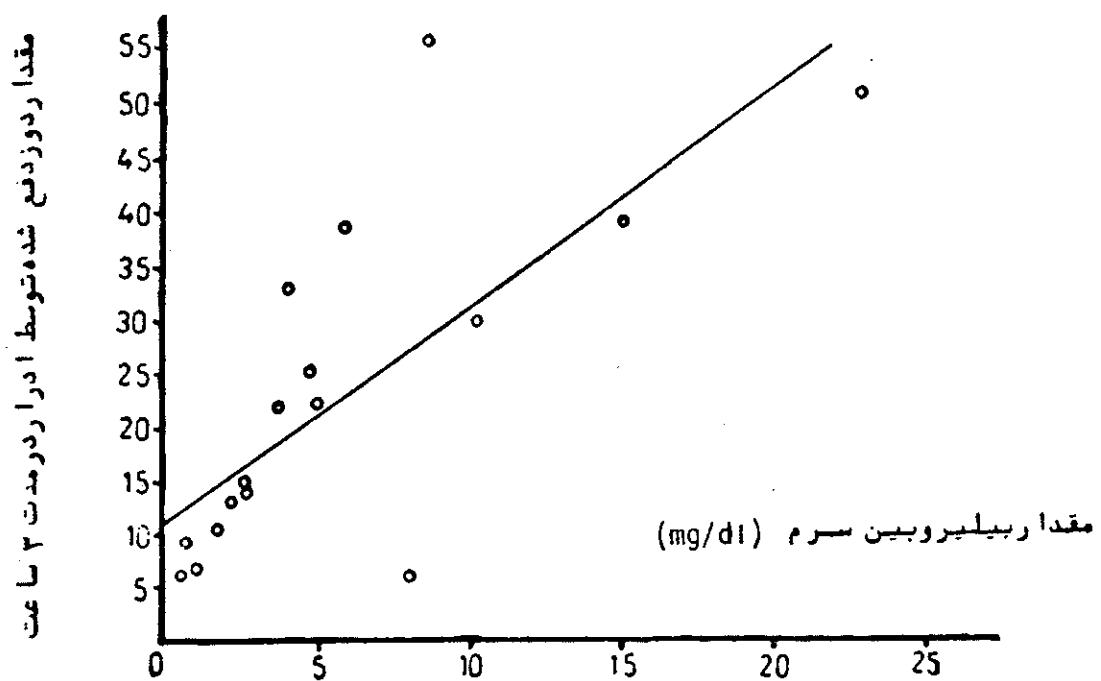
کلورور قلع دوظرفیتی که دارای مولکول آبی می‌باشد ( $\text{SnCl}_2 \cdot 2\text{H}_2\text{O}$ ) یک احیاکننده قوی است که پر تکنات سدیم ( $\text{TC-99m-O}_4 \text{Na}$ ) را احیا کرده و آن را ظرفیت‌های



شکل (۱۰) : نمایش هیستوگرامی از خرگوش تا ۴۵ دقیقه پس از تزریق  
99m TC-BRIDA

ملکول با لیپوفیلیسیتی بالا می‌تواند بطور نسبی در مقابل غلظت‌هایی از بیلیروبین خون مقاومت کند و در بیماران یرقانی بطور مؤثر از طریق صفراء دفع شود. در حالیکه مشتقان دیگر IIDA از جمله TC-99m-EHIDA قدرت مقابله با بیلیروبین خون را نداشته و در بیماران مذکور دفع از طریق کلیه‌ها صورت می‌گیرد (شکل ۱۲).

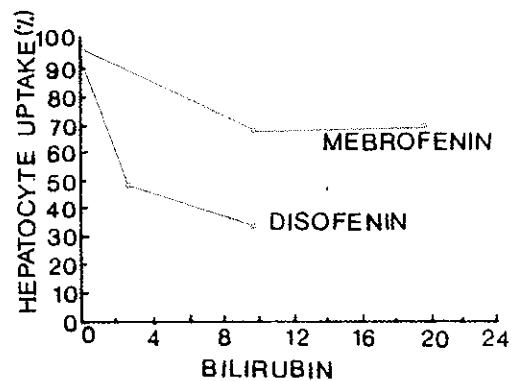
در گزارشات مختلف دو نوع مشتق TC-99m-DISIDA و TC-99m-BRIDA بصورت *In Vitro* بر روی سلول‌های کبد در موش‌های آزمایشگاهی سورد مطالعه قرار گرفتند. این گزارشات نشان می‌دهند که حضور ۱۰٪ وزنی بیلیروبین باعث کاهش مقدار جذب (Uptake) ۷۱ تا ۷۶ درصد می‌گردد. در آخرین کار انجام شده بیان شده است که مقدار جذب BRIDA برای مقادیر حتی بیش از ۲۰٪ وزنی بیلیروبین نیز در حد ۷۰ درصد باقی می‌ماند (شکل ۱۳) علاوه بر مطالب فوق که اهمیت ساختمان ملکولی مبروکنین را بعنوان یک عامل ستی گرانی معرفی می‌کند، عوامل دیگری چون ماده احیاکننده (کلورور قلع) و pH در فرمولاسیون کیت نقش مهمی دارند.



شکل (۱۲) : میزان دفع  $99m\text{TC-EHIDA}$  با تغییر غلظت بیلروبین خون

پائین خود به فرم شیمیایی اکسید تکنیزیم ( $99m\text{TC-O}_2$ ) می‌رساند و سپس یک ملکول  $\text{TCO}_2$  با دو ملکول لیگاند مبروفینین کمپلکسی پایدار تشکیل می‌دهد. فعالیت کلرورقع و همچنین ایجاد کمپلکس بستگی به  $\text{pH}$  محیط واکنش دارد بطوریکه مقدار  $\text{pH}$  مناسب هم ثبیت کننده قلع در شرایط پایدار و هم نگهدارنده لیگاند در موقعیت کاملاً محلول می‌باشد. با آزمایش‌های رادیوشیمیایی از طریق کروماتوگرافی می‌توان مقدار درصد کمپلکس  $99m\text{TC-BRIDA}$  را به عنوان خلوص رادیوشیمیایی محاسبه کرد. مقدار ناخالصی بدست آمده از  $99m\text{TC-O}_2$  و  $99m\text{TC-04}$  در فرمولاسیون نهایی مبروفینین مجموعاً "کمتر از ۵ درصد بود.

عواملی که باعث می‌شوند تا میزان ناخالصی در یک کیت لیوفیلیزه افزایش یابد عبارتند از اکسیژن هوا، حرارت و رطوبت که هر کدام می‌توانند بروی قلع (II) موجود در کیت تأثیر گذاشته، آن را اکسیده و یا هیدرولیز کنند. وقتی قلع (II) اکسید شود قلع (IV) بدست می‌آید که در این جا نقش خود



شکل (۱۳) : تاثیر بیلروبین در جذب کبدی  $99m\text{TC-BRIDA}$  و  $99m\text{TC-DISIDA}$  *In vitro* بر روی کبد موشهای آزمایشگاهی

آزمایشگاه تا ۴ ساعت پایدار است و سپس میزان قلع (II) موجود در آن بهشدت اکسید و به قلع (IV) تبدیل می‌شود. این مسئله می‌تواند بعد از افزودن پر تکنات مقدار ناخالصی رادیوشیمیایی را افزایش دهد.

### تشکر و قدردانی

بدينوسیله از همکاری صمیمانه همکاران بخش رادیوایزو توب بویژه خانم طبیه هادی زاد در امر ستز، خانم شهناز طلوعی در کنترل شیمیایی و رادیوشیمیایی، آقای عبدالپور در ساخت کیت، خانم فاطمه محمود خان و آقامحمدی صابری در کنترل بیولوژیک و خانم دوست فرهی در تمام زمینه‌های فوق، تشکر و قدردانی به عمل می‌آید.

را به عنوان یک احیاکننده برای  $\text{TCO}_4$  از دست می‌دهد درنتیجه میزان ناخالصی  $\text{Tc-99m-O}_4$  در محلول کیت بالا می‌رود و میزان کمپلکس  $\text{Tc-BRIDA}$  کاهش می‌باشد. همچنین وجود میزان کم آب در کیت لیوفیلیزه و حرارت محیط باعث می‌گردد که قلع موجود در کیت را هیدرولیز کرده و در موقع افزودن پر تکنات، کمپلکس تشکیل نشود و هیدرو اکسید قلع (IV) بوجود آمده با تکنیزیم احیا شود و ایجاد کلوئید کند که بیشتر جذب سیستم رتیکولو اندوتیال (Reticuloendothelial) خواهد شود. لذا علاوه بر کنترل معمول رادیوشیمی، شیمیایی و بیولوژیک بروی نمونه‌های کیت لیوفیلیزه ساخته شده میزان رطوبت، خلا و مدت زمان پایداری نیز کنترل گردد. همچنین آزمایشهای شیمیایی کنترل قلع شان داده که محلول کیت مبروفنین (در سالین) در شرایط دمای

### References

- 1) Schwenh. M. Transport systems of Isolated hepatocytes studies on the transport of biliary compounds. Arch. Toci col. 44; 113-126; 1980.
- 2) Frizberg, A.R. The evaluation of hepatocyte function with radiotracers. In Billingham, M.W; editor studies of cellular Function using Radiotracer. Boca Radon, Fla: CRC Press. 1982: 7392.
- 3) Loberg. M.D., Nunn, A.D., Porter, D.W. Development of hepatobiliary agents. Nucl. Med. Annu. 1981: 1-33.
- 4) Taplin. G.V.; Meredith. O.M.; Kade. H. The radioactive I-131 Tagged rose bengal uptake excretion test for liver function using external gamma ray scintillation counting techniques. J. Lab. Clin. Med 45; 665-678; 1955.
- 5) Frinau. G. Why do TC-99m chelates workfor cholescintigraphy? Eur. J. Nucl. Med. 1: 137-139; 1976.
- 6) Frizberg, A.R.; Klingensmith. W.C: Auest for perfect hepatobiliary radiopharmaceutical. J. Nucl. Med, 23: 543-546; 1982.
- 7) Harry. E, Loberg. M; copper. M. TC-99m HIDA A new radiopharmaceutical for hepatobiliary imaging. J. Nucl Med. 16; 533; 1975.
- 8) Chervu. L.R; Nunn. A.D; Lober, M.D. Radiopharmaceuticals for hepatobiliary imaging. Semin. Nucl. Med. 12; 5-17; 1982.
- 9) Lober. M.D; Fields. A.T. chemical structure of TC-99m Labeled N-(2, 6- Dimethyl phenyl carbamoyl methyl) imimodiacetic acid (TC-HIDA). Int. J. Appl. Radiat. Isot 29: 167-173; 1978.
- 10) Dudczak. R.; Kletter. K.; Anglberger, P.; Frishaul, H. comparison of two different biliary agents in healthy subjects and in paitients with liver disease. Ew. J. Nucl. Med. 4; 365-368; 1979.
- 11) Klingensmith. W.C; Fritzberg. A.R.; spitzer. V.M.; Koep. L. J. chlincial comparison of 99m-TC diethyl IDA AND 99m-TC-PIPIDA for evaluation of the hepatobiliary system. Radiology 134; 195-199; 1980.
- 12) Klingensmith. W.C.; Fritzberg. A. R; Spitzer. V.M; Kuni. C.C.; Shanahan. W.S.M. clinical comparison of diisopropyl- IDA TC99m and diethyl-IDB TC99m for evaluton of the hepatobiliary system Radiology. 140; 791-795; 1981.
- 13) Hernandz. M.; Rosenthal. L.A. Crossover study comparing the kinetics of TC-99m labeled diisopropyl and P. butyl. IDA analogs in patients. Clin. Nucl. Med. 5; 159-165: 1980 a.

- 14) Hernandez. M.; Rosenthal. L.A Crossover study comparing the Kinetics of TC-99m- labeled diethyl and diisopropyl-IDA. Clin. Nucl. Med. 5; 352-258; 1980 b.
- 15) Klingensmith. W.C; Fritzberg. A.R; Spitzer. V.M; kuni, C.C; williamson. M.R; Gerhold. J.P. work in progress: clinical evaluation of TC-99m Trimethylbromo IDA and TC-99m- diisopropyl- IDA for hepatobiliary imaging. Radiology 146: 181-184; 1983.
- 16) Krishnamurthy. S; Krishnamurthy. G.t. Nuclear hepatology: Where is it heading now? J. Nucl. Med. 29: 1144-1149; 1988.
- 17) Krishnamarthy. quantitative assessment of hepatobiliary diseases with TC99m- IDA scintigraphy. Nucl. Med. Anna 1988: 309-330.